

LANCE

Laboratorio Nacional
de Clima Espacial



Reporte Semanal de Clima Espacial

<https://www.sciesmex.unam.mx/blog/category/reporte-semanal-de-clima-espacial/>



AEM AGENCIA
ESPACIAL
MEXICANA



CENAPRED
CENTRO NACIONAL DE
PREVENCIÓN DE DESASTRES



ISES
International Space
Environment Service

Reporte semanal: 30 de agosto al 5 de septiembre de 2024

CONDICIONES DEL SOL

Regiones activas: múltiples distribuidas en el disco solar, 7 de ellas cercanas al centro.

Hoyos coronales: múltiples distribuidos por el disco solar.

Eyecciones de masa coronal: una tipo limbo (744 km/s – 3 de septiembre).

Fulguraciones: múltiples \leq M1 y una M5.

La Red de Espectrómetros Callisto de México (REC-Mx) detectó más de 10 estallidos de radio tipo III.

CONDICIONES DEL MEDIO INTERPLANETARIO

Se registró el tránsito del flanco de un choque y/o EMC que provocaron perturbaciones geomagnéticas.

CONDICIONES DE MAGNETÓSFERA

Índice Kp: Campo perturbado (Kp=4).

Índice Dst: Se registró actividad geomagnética moderada (Dst ~ -100 nT).

CONDICIONES DE LA IONOSFERA

No se registraron perturbaciones significativas.

CONDICIONES DE RAYOS CÓSMICOS

Se registró un decaimiento Forbush asociado al tránsito del flanco del choque/EMC.

Pronóstico: 6 al 12 de septiembre de 2024

PRONÓSTICOS PARA LA PRÓXIMA SEMANA

Viento solar:

- Se espera viento solar rápido estándar en el ambiente espacial terrestre.

Fulguraciones solares:

- Es probable la ocurrencia de fulguraciones clase M o superior.

Tormentas ionosféricas:

- Podrían presentarse afectaciones ionosféricas no significativas en los próximos días.

Tormentas geomagnéticas:

- Es posible la ocurrencia de perturbaciones geomagnéticas durante la próxima semana.

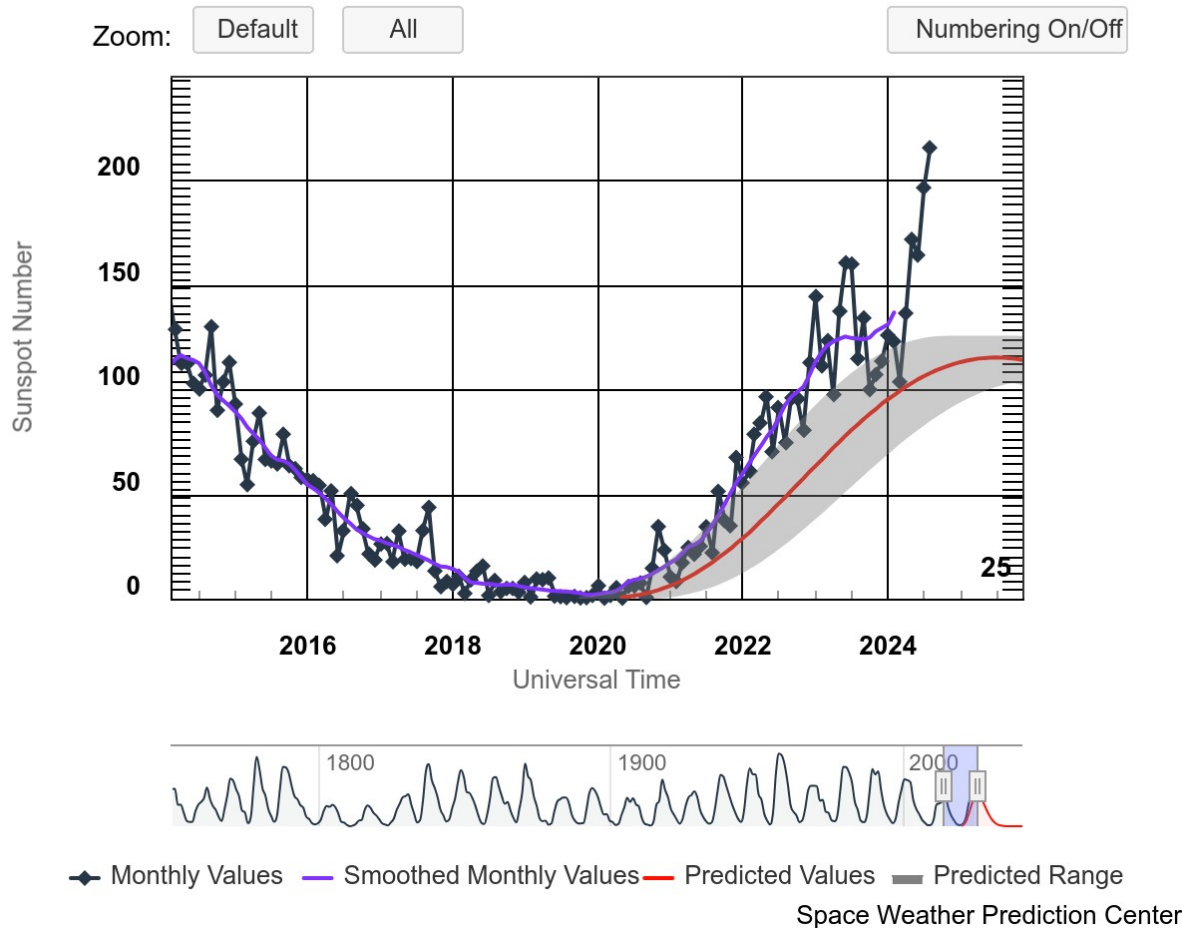
Tormentas de radiación solar:

- No se esperan tormentas de radiación significativas.

Todavía no se alcanza el máximo del ciclo solar 25. Por lo tanto se espera que la actividad solar siga en aumento.

Ciclo de manchas solares y la actividad solar

ISES Solar Cycle Sunspot Number Progression



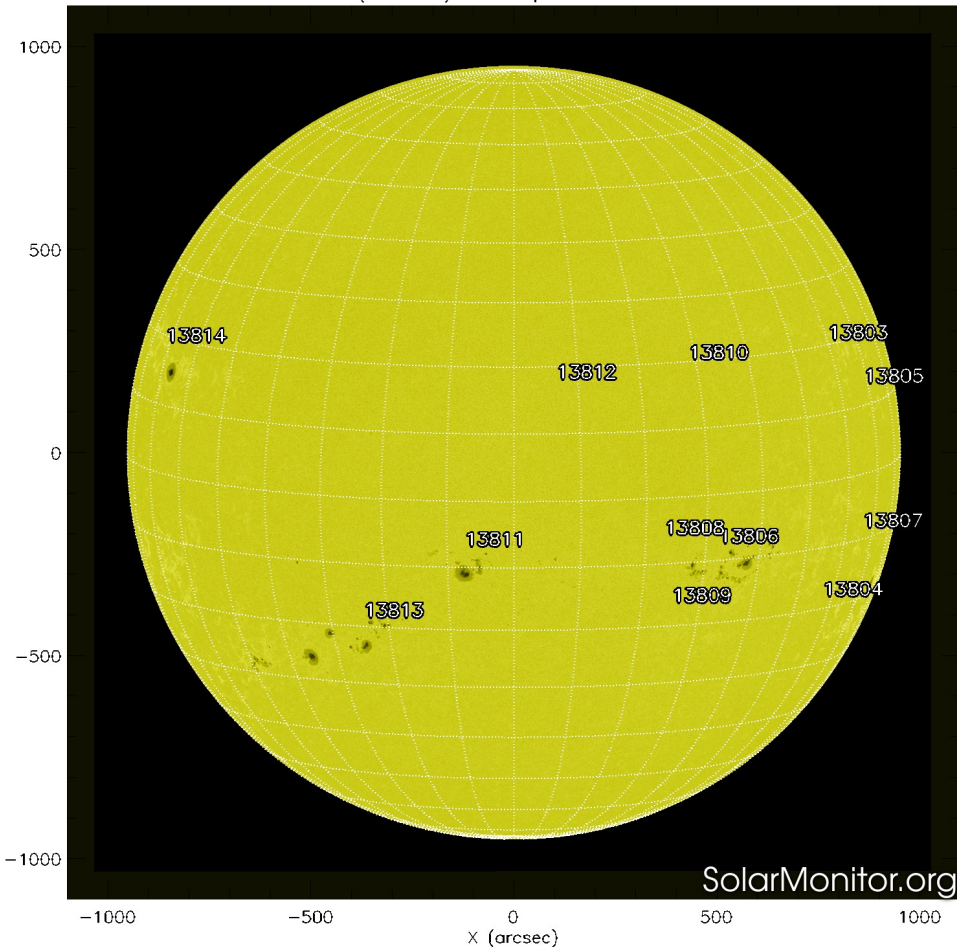
La figura muestra el conteo del número de manchas solares desde 2012.

Entre más manchas solares presente el Sol, es mayor la posibilidad de que ocurra una tormenta solar.

Estamos entrando al máximo de actividad del ciclo solar número 25.

<http://www.swpc.noaa.gov/products/solar-cycle-progression>

SDO HMI (6173 Å) 5-Sep-2024 22:46:42.000

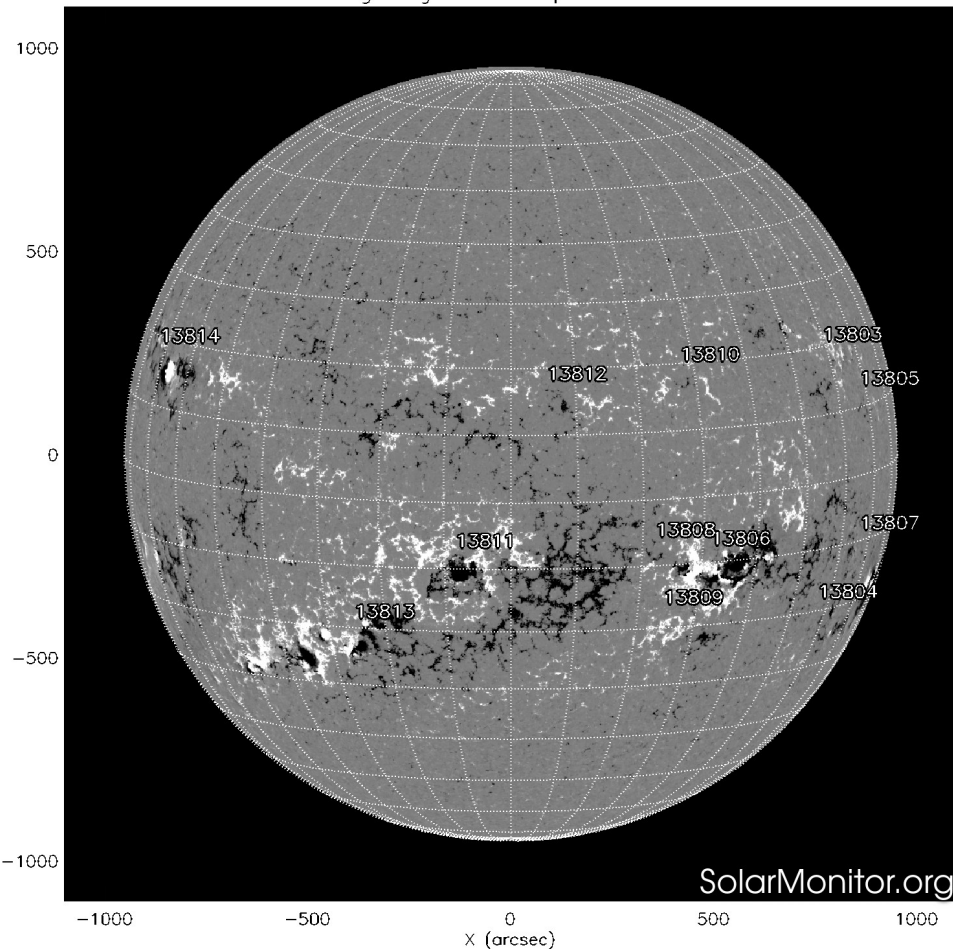


La fotosfera es la zona “superficial” del Sol, donde aparecen las manchas solares. Regiones oscuras formadas por material más frío que sus alrededores y que contienen intensos campos magnéticos. Las manchas solares están relacionadas con la actividad solar.

La imagen reciente de la fotosfera presenta varios grupos de manchas solares distribuidos por el disco solar. Siete de ellos están ubicados cerca del centro del disco solar.

<http://solarmonitor.org> y www.helioviewer.org

SDO HMI Magnetogram 5-Sep-2024 21:58:41.900



Un magnetograma solar permite identificar las regiones de intensos campos magnéticos solares. En general, estos campos magnéticos están asociados a manchas solares.

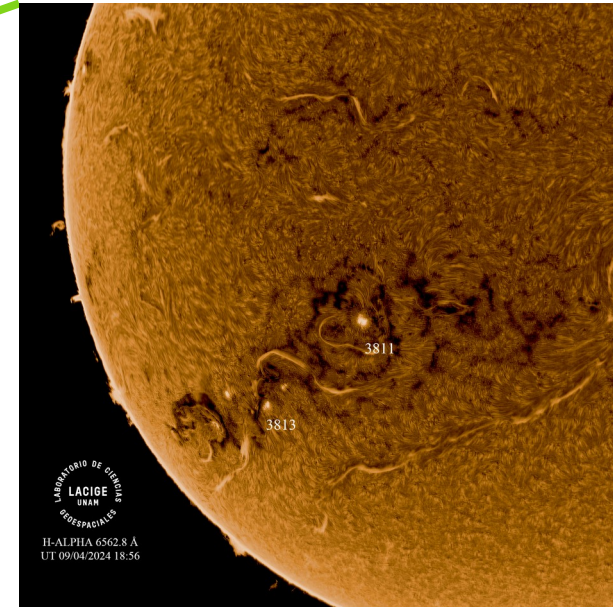
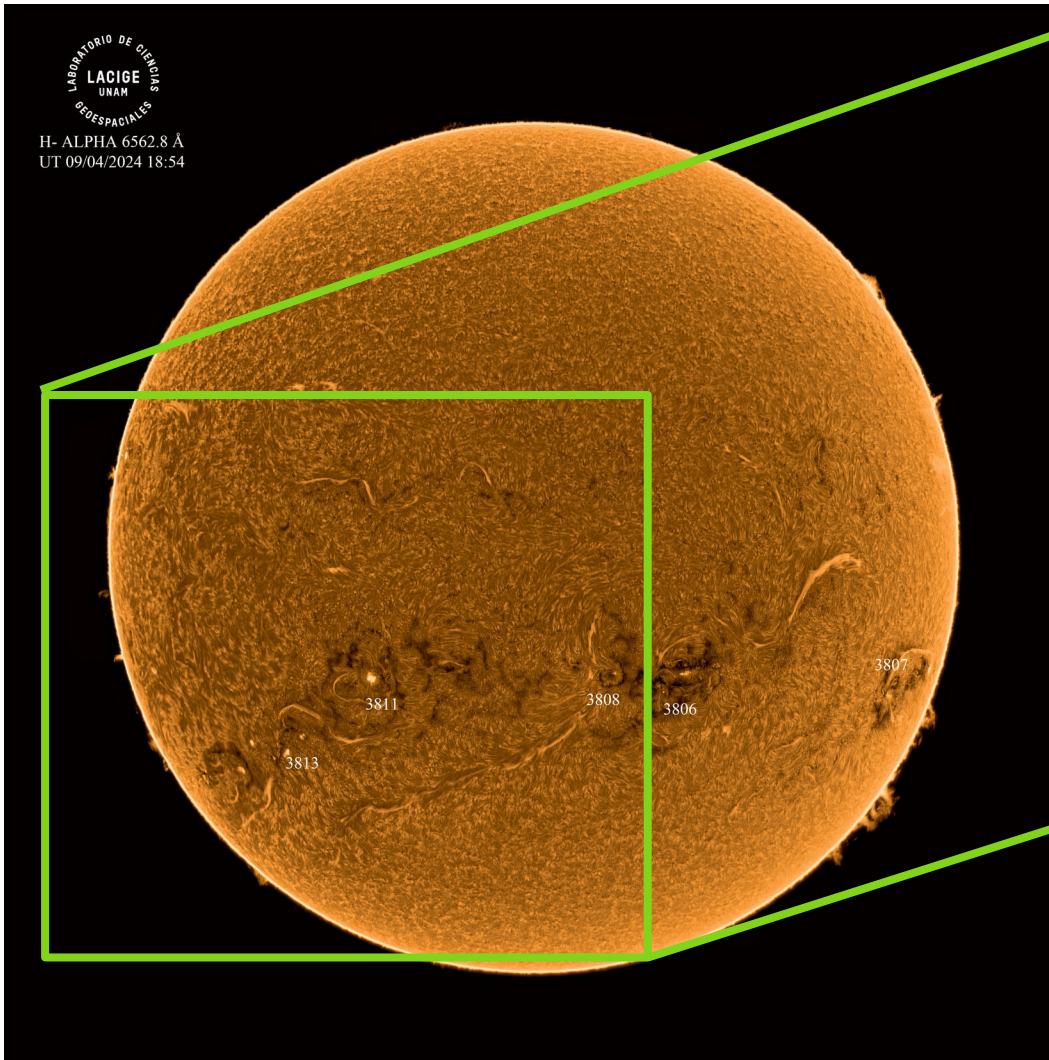
Las regiones de color blanco (negro) son zonas por donde salen (entran) líneas de campo magnético, correspondientes a polaridad positiva (negativa).

El Sol hoy:

El magnetograma muestra múltiples regiones magnéticas dispersas en el disco solar asociadas a los grupos de manchas solares.

Las regiones magnéticas están distribuidas a lo largo de las regiones ecuatoriales del disco solar.

<http://solarmonitor.org> y www.helioviewer.org

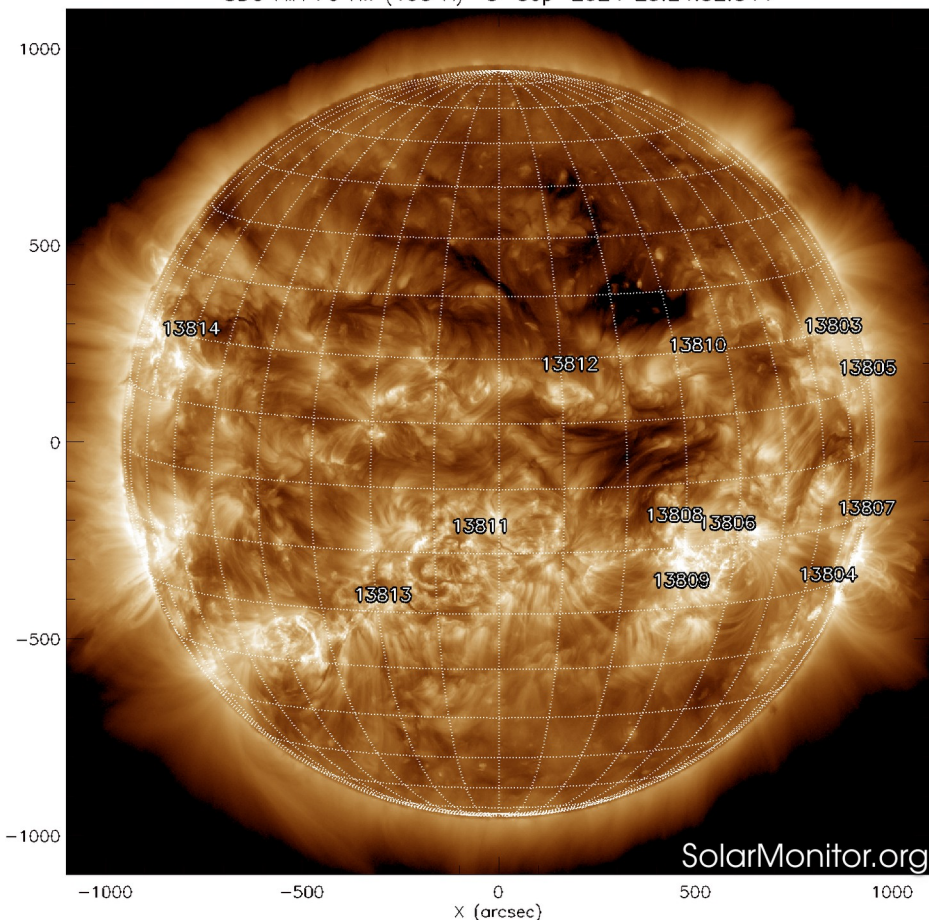


Imágenes de la cromosfera solar en H-Alpha (6562.8 Å) y disco completo del Sol para el día 04/09/2024, 18:54 y 18:56 hrs UTC respectivamente.

La imagen de la izquierda muestra las regiones activas 3806, 3807, 3808, 3811 y 3813 observadas en el disco solar. Destacan varios filamentos en el disco solar, así como protuberancias observadas en el borde del disco suroeste. La imagen de la derecha muestra un acercamiento a la región sureste del disco.

Atmósfera solar y regiones activas

SDO AIA Fe XII (193 Å) 5-Sep-2024 23:24:52.844



El Sol en rayos X suaves (171 Å). La emisión de Fe IX y X revela la estructura magnética en la región de la atmósfera solar llamada corona solar que se encuentra a 630,000 K.

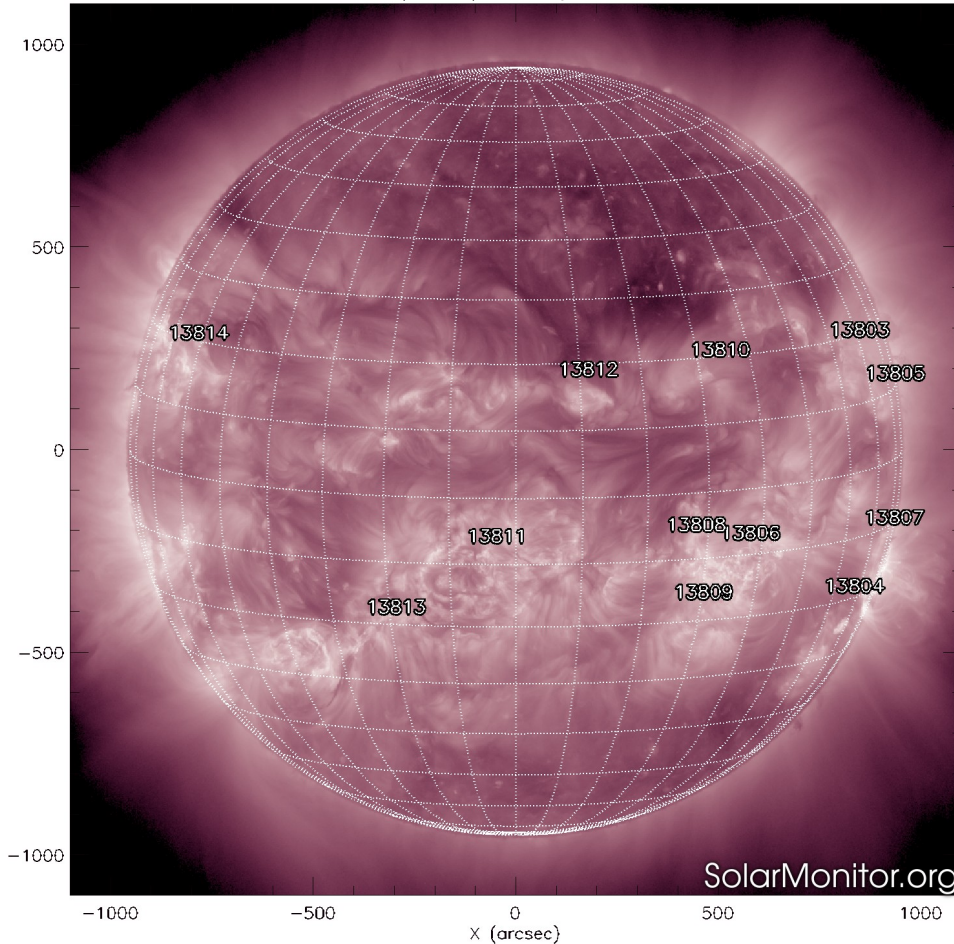
Las regiones activas (zonas claras) son los lugares donde se presentan los fenómenos de actividad solar más importantes. Las regiones activas están regularmente asociadas a las manchas solares.

El Sol hoy:

Se observan múltiples regiones activas asociadas a las manchas solares previamente comentadas.

<http://solarmonitor.org> y www.helioviewer.org

SDO AIA Fe XII (211 Å) 5-Sep-2024 23:24:45.632



El Sol en rayos X suaves. La imagen revela la estructura magnética en la alta corona que se encuentra entre 1,000,000 K y 10,000,000 K.

Los hoyos coronales (regiones oscuras) son regiones de campo magnético solar localmente abierto. Los hoyos coronales son fuente de las corrientes de viento solar rápido.

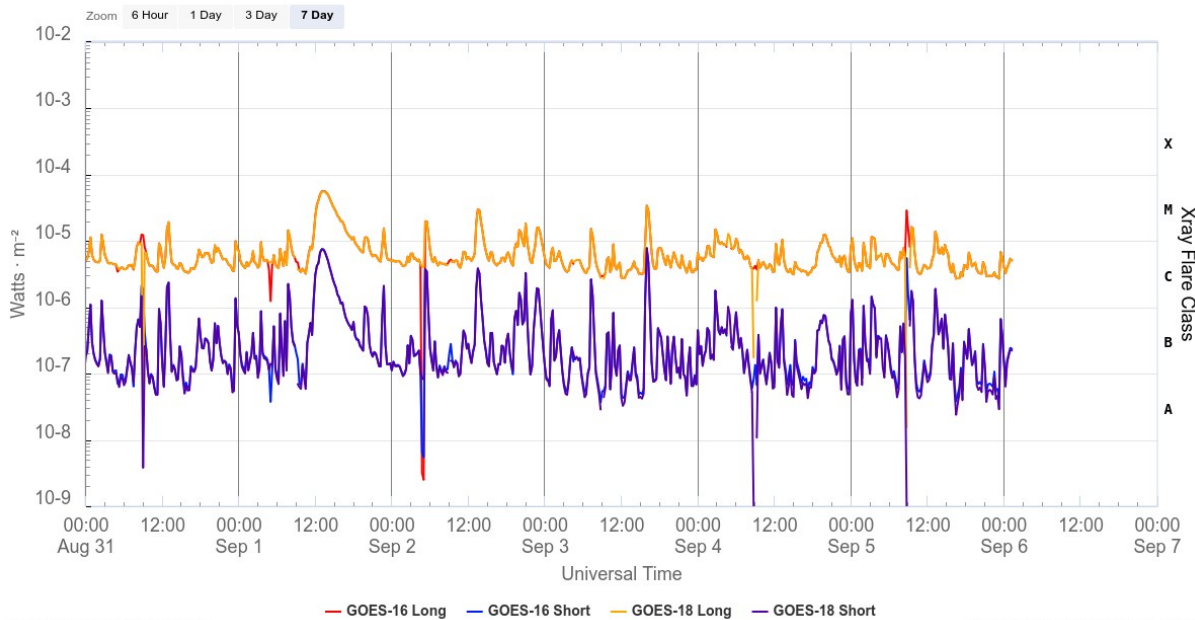
El Sol:

Se observan dos hoyos coronales. Uno de ellos está en la región polar norte, y otros dos en la debajo del ecuador solar.

<http://solarmonitor.org> y www.helioviewer.org

Actividad solar: Fulguraciones solares

GOES X-Ray Flux (1-minute data)



Updated 2024-09-06 01:27 UTC

Space Weather Prediction Center

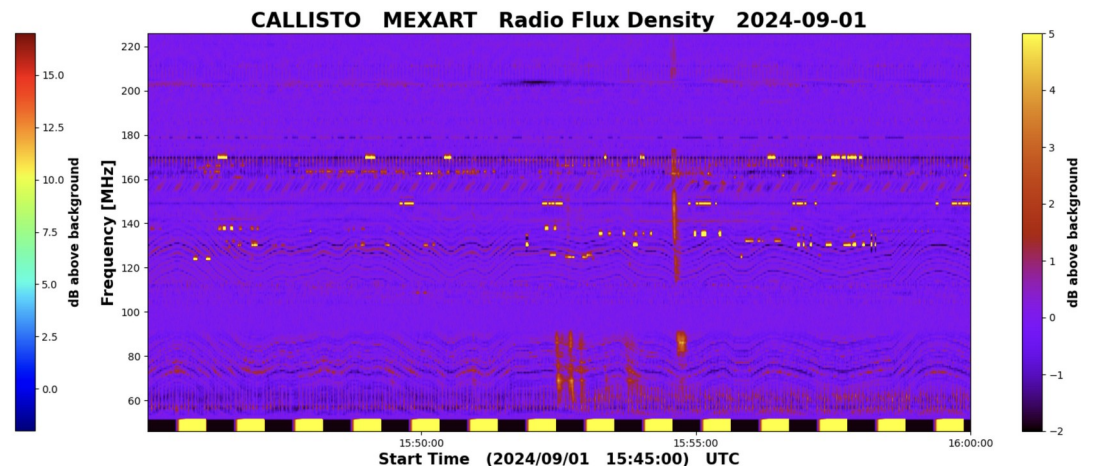
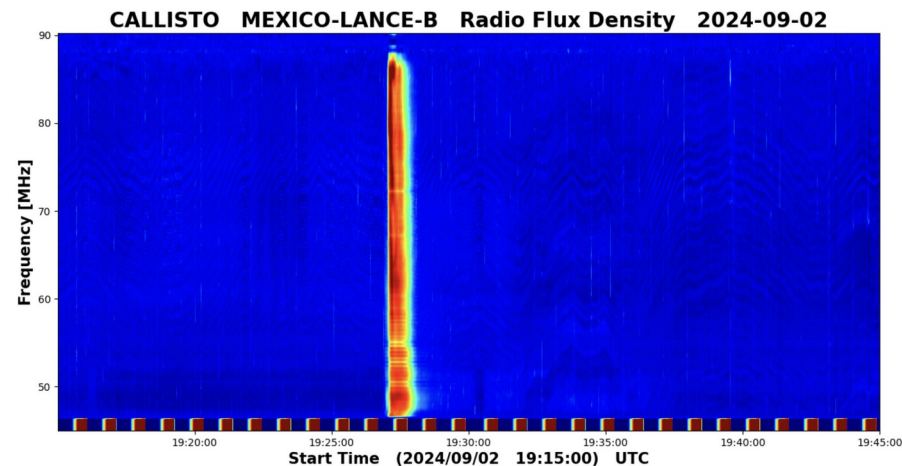
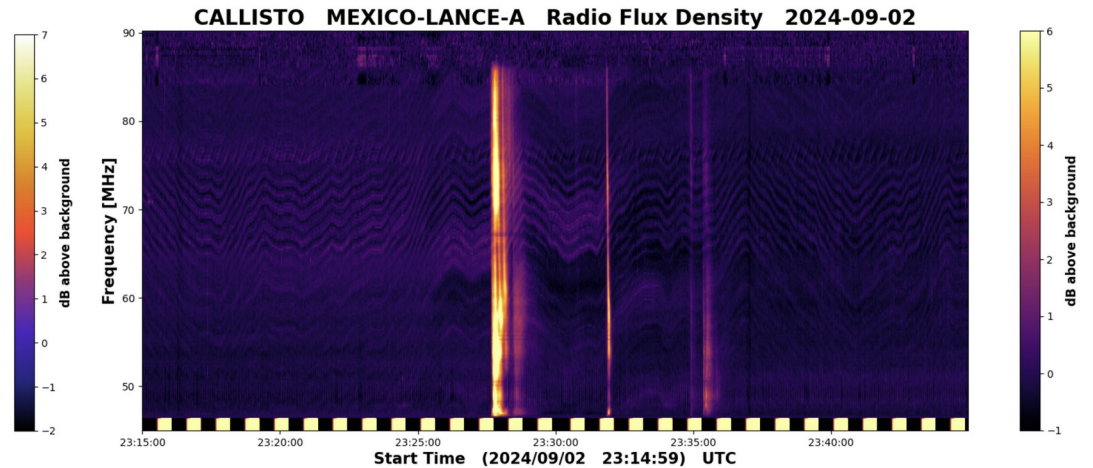
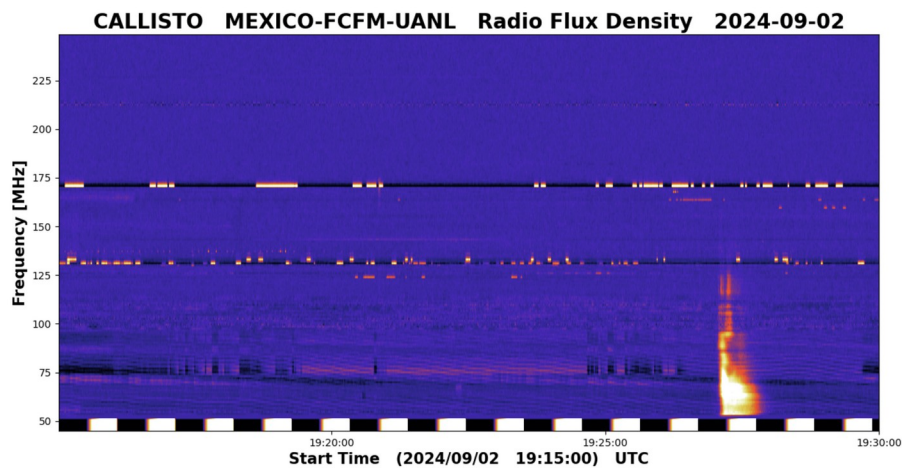
Flujo de rayos X solares detectado por los satélites GOES.

Se registraron múltiples fulguraciones solares clase M. La más relevante fue clase M5 y se registró el 1 de septiembre.

Imágenes: <http://services.swpc.noaa.gov/>

Red de Espectrómetros Callisto de México (REC-Mx)

En esta semana la Red de Espectrómetros Callisto de México (REC-Mx) detectó 10 estallidos de radio Tipo III, 1 Tipo V, 9 Tipo VI, 1 CTM, 1 RSP *-unknown radio sweep spectrum-*.



Medio interplanetario

Viento solar cercano a la Tierra

Modelo numérico WSA-ENLIL.

Al día de hoy 5 de septiembre de 2024, pronostica el arribo de corrientes de viento solar rápido con velocidades de aproximadamente 600 km/s. No pronostica la llegada de alguna EMC para los próximos días.

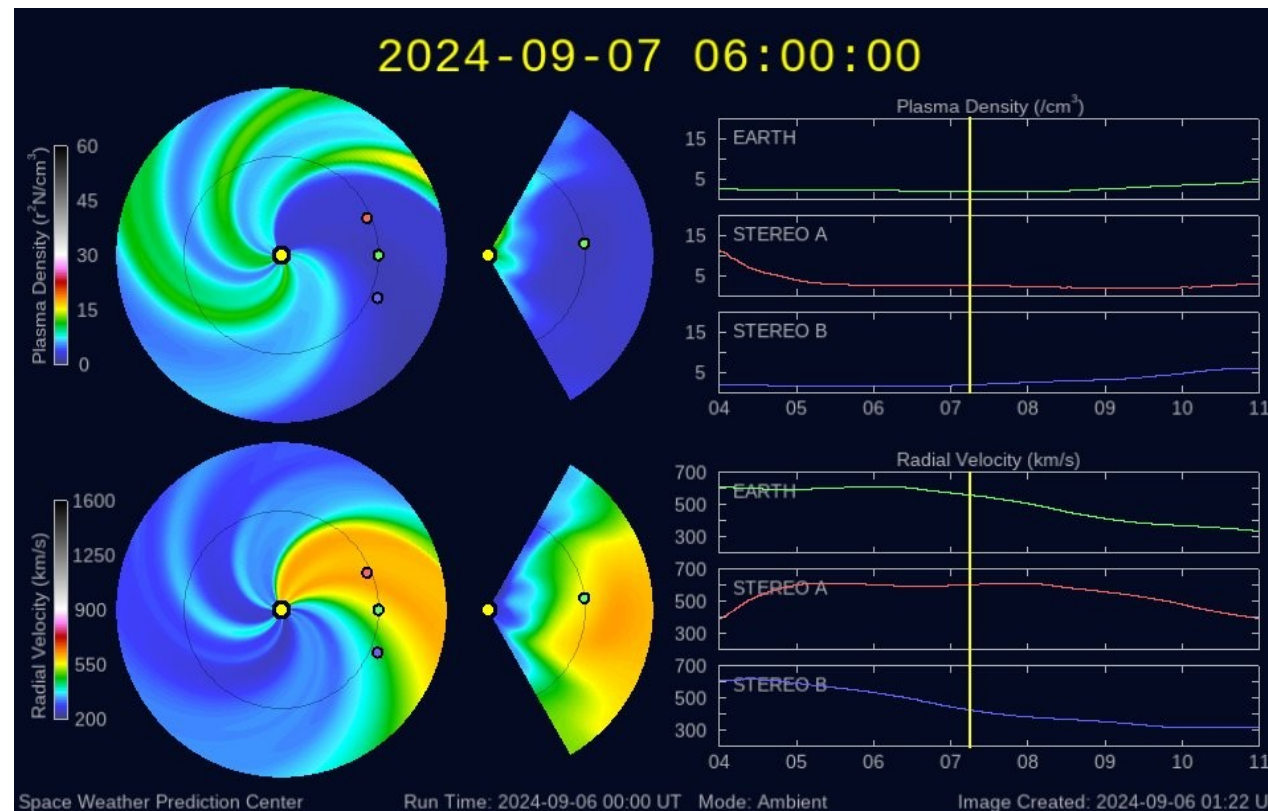


Imagen: <http://www.swpc.noaa.gov/products/wsa-enlil-solar-wind-prediction>

Medio interplanetario

Regiones de interacción

Esta semana se registró una eyección de masa coronal (EMC) (ver región sombreada en amarillo en imagen 2). La región fuente de la eyección es incierta ya que el Sol ha estado muy activo (en imagen 1 vemos las regiones activas actuales). La EMC no generó actividad geomagnética

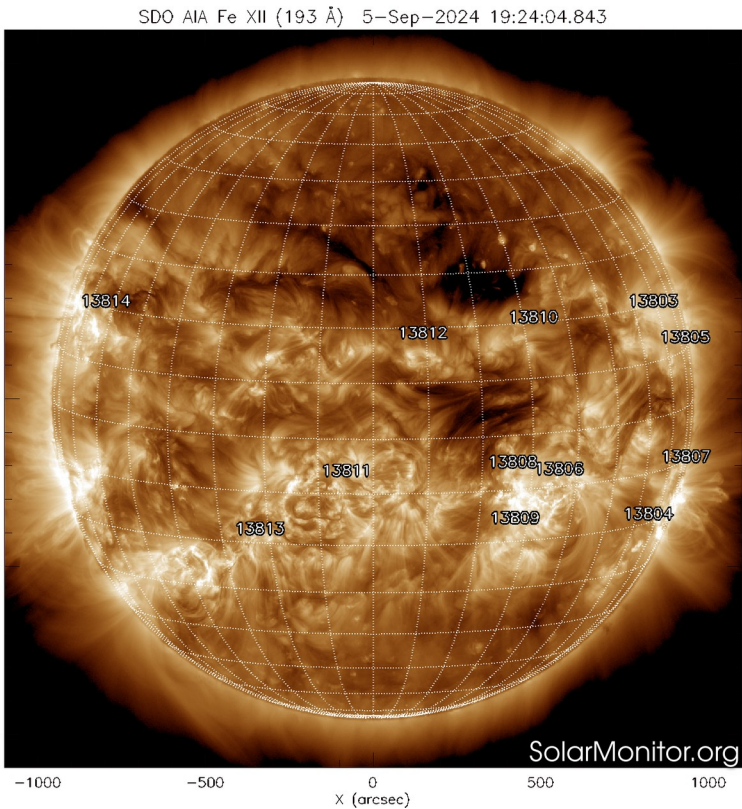


Imagen 1: <https://www.sidc.be/cactus/catalog.php>

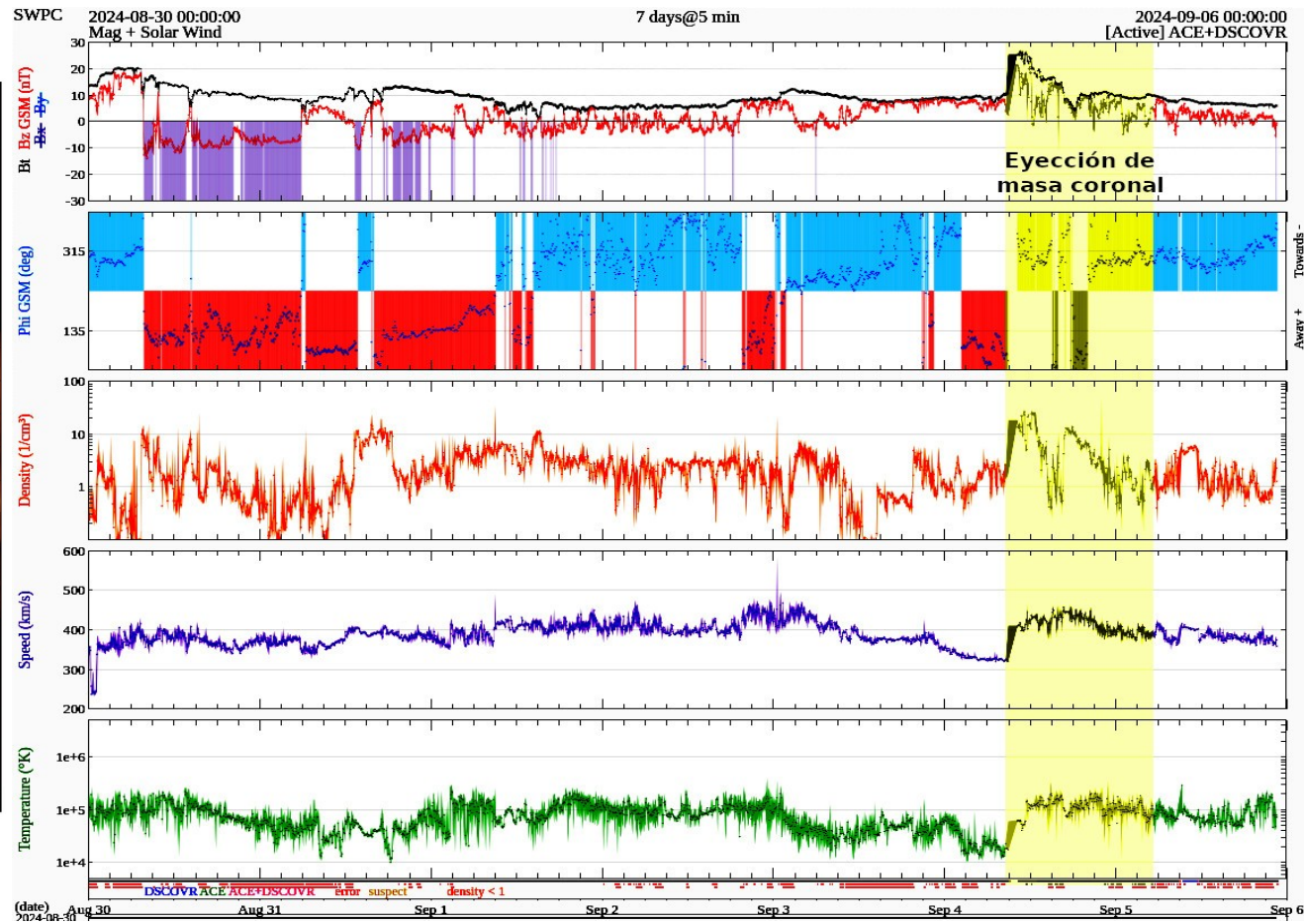


Imagen 2: <http://www.swpc.noaa.gov/products/real-time-solar-wind>

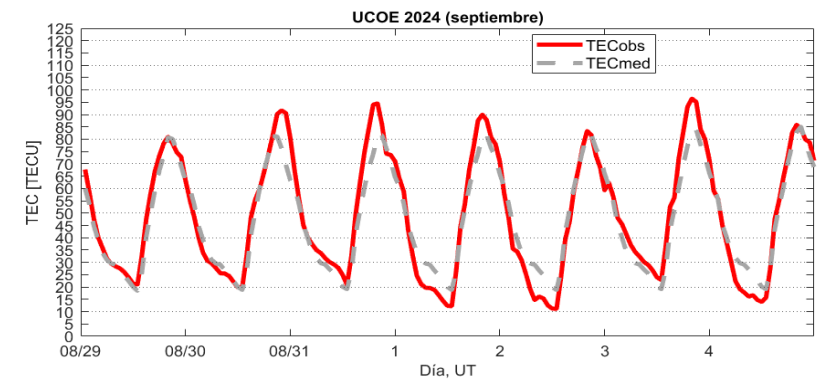
Ionósfera sobre México: TEC en el centro del país

El contenido total de electrones (TEC) es un parámetro que sirve para caracterizar el estado de la ionosfera de la Tierra.

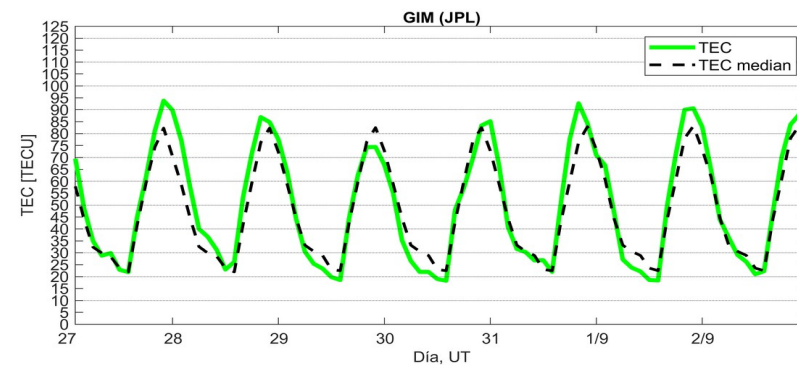
Series temporales de los valores de TEC (TECobs) con referencia a su valor mediano (TECmed) obtenidas de:

(1) Estación local UCOE, receptor ubicado en las instalaciones del MEXART

El cálculo se realiza en base del software "TayAbsTEC" del Instituto de Física Solar-Terrestre, SB RAS. Referencia: Yasyukevich et al., 2015, doi: 10.1134/S001679321506016X.



(2) Mapas ionosféricos globales (GIM JPL)



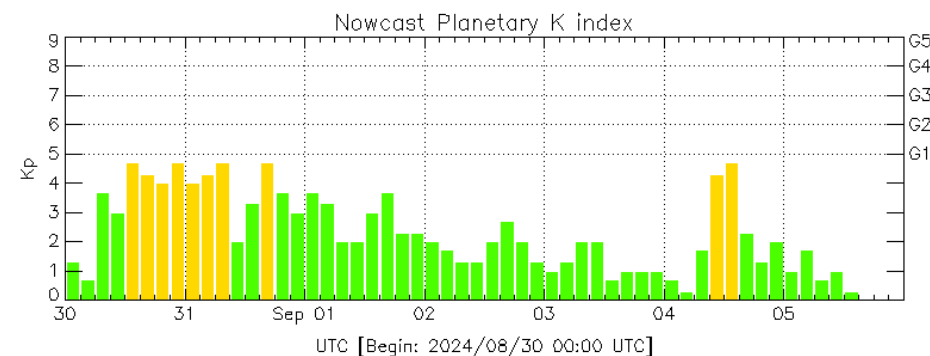
No se observaron variaciones significativas de TEC durante la semana.

Perturbaciones geomagnéticas: Índices geomagnéticos Kp y Kmex

Se registraron perturbaciones geomagnéticas (K=4) en los índices Kp y Kmex el 30 y 31 de agosto. La actividad geomagnética fue provocada por corrientes de viento solar con componente magnética Bz sur intermitente, llegaron al entorno terrestre el 30 de agosto.

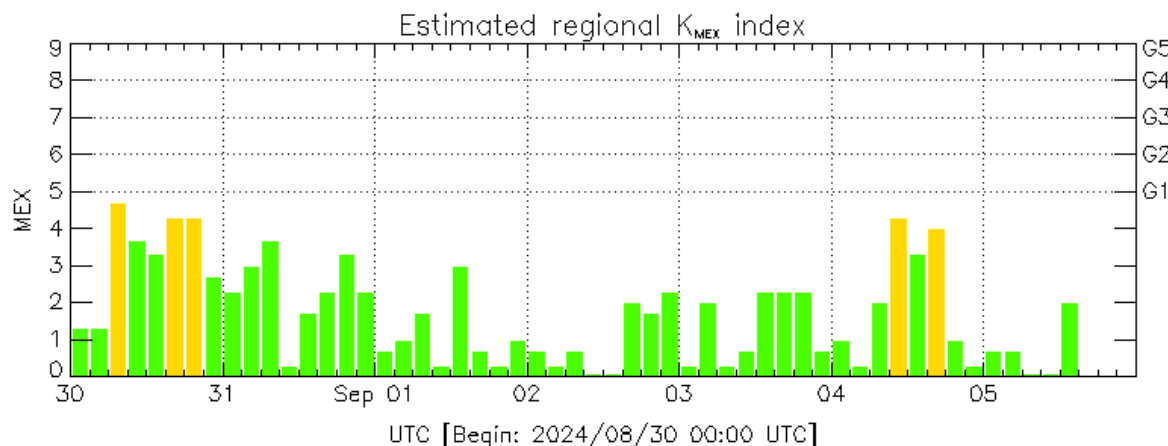
NOTA: El cálculo del índice Kmex se realiza usando datos de las estaciones geomagnéticas en Coeneo, Mich, y Teoloyucan, Edomex. Los datos son experimentales y no se deben de tomar como definitivos.

Datps: www.gfz-potsdam.de/en/kp-index/



Kp: by GFZ German Research Center for Geosciences
<https://www.gfz-potsdam.de/en/kp-index/>

Updated: 2024/09/05-15:59 UTC



MEX: Regional early values of K index for Mexico by
REGMEX/LANCE (<http://regmex.unam.mx>)

Updated: 2024/09/05-15:59 UTC

El índice K indica la intensidad de las variaciones del campo magnético terrestre en intervalos de 3 horas.

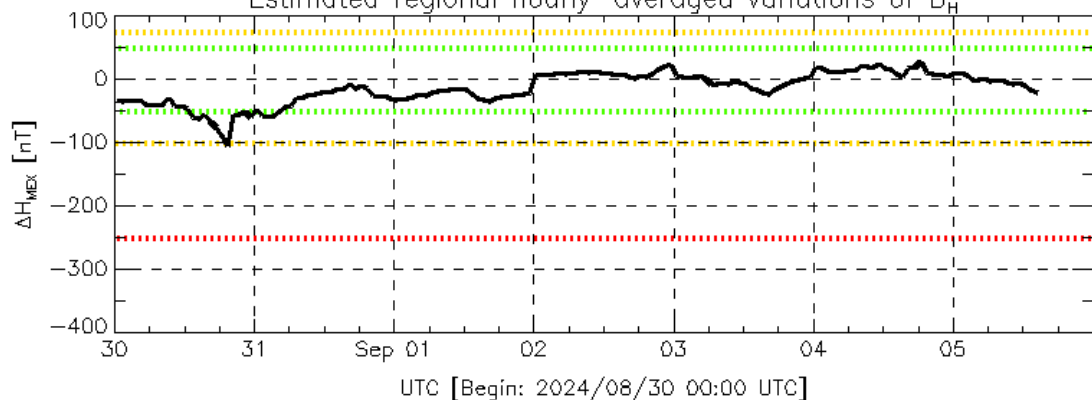
El índice Kp lo expresa a escala planetaria, mientras que el Kmex lo hace para el territorio mexicano.

Perturbaciones geomagnéticas: Índices Dst y ΔH

Se registró actividad geomagnética en los índices Dst y ΔH el 30 y 31 de agosto. La actividad geomagnética fue provocada por una corriente de viento solar con componente geomagnética Bz sur intermitente que llegaron al entorno terrestre el 30 de agosto.

NOTA: El cálculo del índice ΔH se realiza usando datos de las estaciones geomagnéticas en Coeneo, Mich y Teoloyucan, Edomex. Los datos son experimentales y no se deben de tomar como definitivos.

Estimated regional hourly-averaged variations of B_H

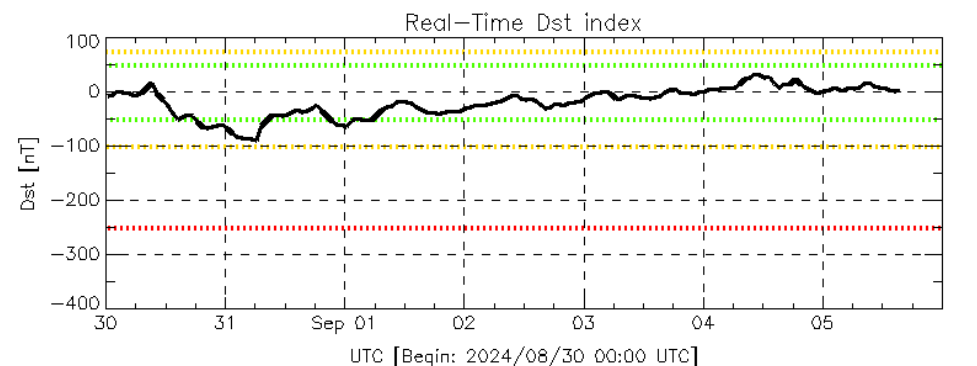


Disturbance: weak, moderate, intense data not available.

MEX: Regional early values of ΔH index for Mexico by REGMEX/LANCE (<http://regmex.unam.mx>)

Updated: 2024/09/05-15:59 UTC

Datos: wdc.kugi.kyoto-u.ac.jp/dst_realtime/



Disturbance: weak, moderate, intense data not available.

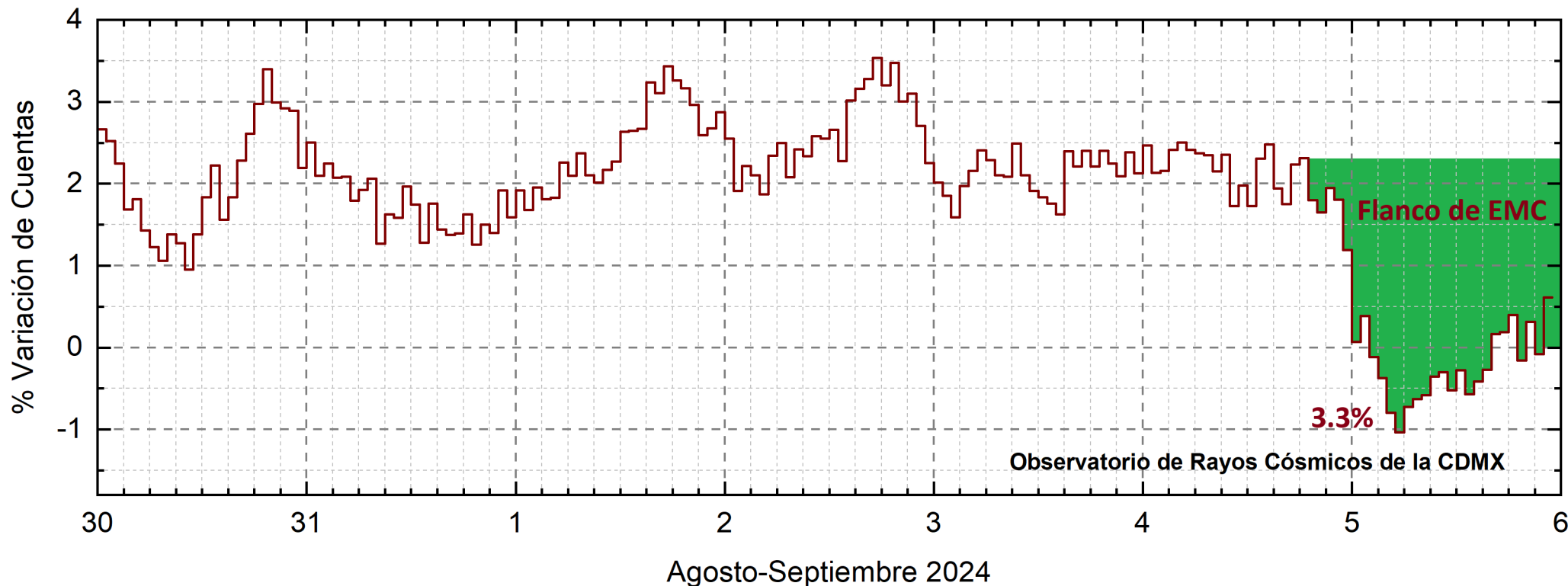
Dst: by World Data Center for Geomagnetism, Kyoto http://wdc.kugi.kyoto-u.ac.jp/dst_realtime/

Updated: 2024/09/05-15:59 UTC

Los índices Dst y ΔH miden las variaciones temporales de la componente horizontal del campo geomagnético, el primero a escala planetaria y el segundo para México.

Estas variaciones, en general, se deben al ingreso de partículas cargadas, provenientes del espacio exterior, al ambiente espacial terrestre.

Rayos Cósmicos:



<http://www.cosmicrays.unam.mx/>

Datos registrados por el Observatorio de Rayos Cósmicos de la Ciudad de México. Del 30 de agosto al 5 de septiembre de 2024 se registró un decrecimiento Forbush (dF) debido al impacto de un Flanco de EMC. El dF inició el 4 de septiembre a las 19 hrs TU. El área coloreada en verde representa la caída en las cuentas de rayos cósmicos detectados en la CDMX, que alcanzó el 3.3%. A las 00 hrs TU del 6 de septiembre aún se registra la etapa de afectación y en proceso gradual de recuperación en el flujo de rayos cósmicos.

UNAM/LANCE/SCIEMEX

Dr. J. Américo González Esparza

Dr. Pedro Corona Romero

Dra. María Sergeeva

Dr. Julio C. Mejía Ambriz

Dr. Luis Xavier González Méndez

Ing. Ernesto Andrade Mascote

M.C. Pablo Villanueva Hernández

Dr. Ernesto Aguilar-Rodríguez

M.C. Carlos Isaac Castellanos Velasco

Dra. Verónica Ontiveros

Dra. Tania Oyuki Chang Martínez

Dr. Víctor José Gatica Acevedo

Dra. Ángela Melgarejo Morales

Isaac David Orrala Legorreta

UNAM ENES-Morelia

Dr. Mario Rodríguez Martínez

Dr. José Juan González Avilés

M.C. Raúl Gutiérrez Zalapa

Ing. Ariana Varela Méndez

Mateo Peralta Mondragón

Jaquelin Mejía Orozco

Grace Diane Jiménez González

UNAM/PCT

Dra. Elsa Sánchez García

Dr. Carlos Arturo Pérez Alanís

M.C. Isaac Castellanos Velasco

UANL/LANCE

Dr. Eduardo Pérez Tijerina

Dra. Esmeralda Romero Hernández

Dr. José Enrique Pérez León

Ing. Iván Antonio Peralta Mendoza

Roel Aramis Olivera López

Fís. Rogelio Aguirre Gutiérrez

M.C. Adolfo Garza Salazar

UNAM/IGF/RAYOS CÓSMICOS

Dr. José Francisco Valdés Galicia

Fís. Alejandro Hurtado Pizano

Ing. Octavio Musalem Clemente

SERVICIO MAGNÉTICO

M.C. Esteban Hernández Quintero

M.C. Gerardo Cifuentes Nava

Dra. Ana Caccavari Garza

GPCEET/SAET-IPN

Ing. Julio César Villagrán Orihuela

Miguel Daniel González Arias

Carlos Escamilla León

Pablo Romero Minchaca

Alfonso Iván Verduzco Torres

Claudia López Martínez

Ana María Ramírez Reyes

Emiliano Campos Castañeda

Elaboración: Pedro Corona Romero

Revisión: Esmeralda Romero Hernández

Agradecimientos

El Laboratorio Nacional de Clima Espacial (LANCE) es parcialmente financiado por: el programa Cátedras CONACYT Proyecto 1045 y el Fondo Sectorial AEM-CONACYT proyecto 2014-01-247722. Agradecemos al proyecto Conacyt – Repositorio Institucional de Clima Espacial 268273. Agradecemos al proyecto AEM-2018-01-A3-S-63804 del Fondo Sectorial CONACYT-AEM. Agradecemos a todos los responsables y colaboradores de instrumentos del LANCE y a las redes de estaciones GPS del Servicio Sismológico Nacional y TlalocNET por facilitar sus datos. Agradecemos a Gerardo Cifuentes, Esteban Hernández y Ana Caccavari por los datos del Observatorio Magnético de Teoloyucan. De igual forma, agradecemos los servicios de IGS (International GNSS Service) por permitirnos usar los datos IONEX disponibles en: <https://cddis.nasa.gov/archive/gnss/products/ionex>. Los valores de TEC fueron obtenidos a partir de observaciones de las redes GPS del Servicio Sismológico Nacional (SSN), SSN-TLALOCNet y TLALOCNet del Servicio de Geodesia Satelital (SGS). Agradecemos al personal del SSN y del SGS por el mantenimiento de estaciones, la adquisición de datos y el soporte de IT de estas redes. Las operaciones de la red TLALOCNet y SSN-TLALOCNet GPS han sido apoyadas por The National Science Foundation bajo el proyecto EAR-1338091 a UNAVCO Inc., los proyectos CONACYT 253760 y 256012 y los proyectos UNAM-PAPIIT IN109315-3 y IN104818-3 de E. Cabral-Cano y el proyecto UNAM-PAPIIT IN111509 de R. Pérez. De igual forma, agradecemos a los proyectos de infraestructura del CONACYT: 253691 y del PAPIIT-DGAPA: IA107116 para el fortalecimiento de equipos como la estación fija de GPS, que forman parte del LACIGE-UNAM, de la ENES unidad Morelia a cargo de M. Rodríguez-Martínez, El cálculo de TEC se realiza: 1) utilizando el software US-TEC que es un producto de operación del Space Weather Prediction Center (SWPC), desarrollado a través de una colaboración entre National Geodetic Survey, National Oceanic and Atmospheric Administration (NOAA) y el Cooperative Institute for Research in Environmental Sciences of the University of Boulder, Colorado, 2) con base en el software TayAbsTEC del Instituto de Física Solar-Terrestre, sección Siberiana de la Academia de Ciencias Rusa. Parte del procesamiento de datos se lleva a cabo dentro del centro de Supercómputo de Clima Espacial (CESCOM) del LANCE. Así mismo agradecemos al Space Weather Forecasting Center for Astrophysics & Space Research de la University of California in San Diego y al Korean Space Weather Center por los datos de pronóstico para los modelos WSA-ENLIL y los mapas tomográficos por IPS. Agradecemos a la red e-callisto por los datos proporcionados de espectros electromagnéticos dinámicos de la red internacional de registro de eventos de radio solares.

Datos

Imágenes de coronógrafo, flujo de rayos X y modelo WSA-ENLIL:

<http://www.swpc.noaa.gov/products>

<http://iswa.ccmc.gsfc.nasa.gov/IswaSystemWebApp/>

Imágenes de coronógrafo:

<http://sohowww.nascom.nasa.gov/data/>

Imágenes del disco solar y de la fulguración:

<http://www.solarmonitor.org/>

Detección y caracterización de EMCs:

<http://www.sidc.oma.be/cactus/out/latestCMEs.html>

<http://spaceweather.gmu.edu/seeds/>

ISES:

<http://www.spaceweather.org/>

International Network of Solar Radio Spectrometers (e-callisto):

<http://www.e-callisto.org/>

German Research Center For Geociencias Postdam:

<http://www.gfz-potsdam.de/en/sektion/erdmagnetfeld/daten-dienst/e/kp-index/>

Data Analysis Center for Geomagnetism and Space Magnetism, Kyoto University:

<http://wdc.kugi.kyoto-u.ac.jp/index.html>

UNAVCO:

<http://www.unavco.org>

SSN:

<http://www.sismologico.unam.mx/>

SOHO Spacecraft NASA:

<http://sohowww.nascom.nasa.gov/>

SDO Spacecraft NASA:

<http://sdo.gsfc.nasa.gov/>

Space Weather Prediction Center NOAA:

<http://www.swpc.noaa.gov>

GOES Spacecraft NOAA:

<http://www.ngdc.noaa.gov/stp/satellite/goes/index.html>

ACE Spacecraft NOAA

<http://www.srl.caltech.edu/ACE/ASC/index.html>